

# ИСПОЛЬЗОВАНИЕ МАТЕМАТИЧЕСКИХ ПАКЕТОВ ДЛЯ ПОСТРОЕНИЯ ОПТИМАЛЬНЫХ ПЛАНОВ.<sup>1</sup>

Мелас В.Б., профессор кафедры статистического моделирования  
СПбГУ, v.melas@spbu.ru

Шпилев П.В., доцент кафедры статистического моделирования  
СПбГУ, p.shpilev@spbu.ru

## Аннотация

Рассматривается задача построения оптимальных планов дискриминации двух тригонометрических моделей отличающихся наличием или отсутствием не более, чем трех старших членов. Ряд общих результатов был получен в работе [8], однако, некоторые частные случаи, представляющие самостоятельный интерес, остались за рамками данной статьи. В настоящей работе детально рассматривается один из таких случаев, а именно, случай дискриминации двух моделей, старшая из которых имеет порядок 2. Для этого случая оптимальные планы построены в явном виде с помощью математических пакетов. Полученные результаты могут быть использованы не только в задачах планирования, но и в теории приближений.

## Введение

Предположим, исследователю необходимо из нескольких регрессионных моделей выбрать одну, наиболее адекватно соответствующую результатам эксперимента. Подобная задача часто возникает в регрессионном анализе (смотри, например, [3], [1], [2]). Ключевой вопрос заключается в том, как в этом случае следует проводить эксперимент. В литературе описываются два подхода. Первый состоит в рассмотрении класса вложенных моделей и построении плана, позволяющего не только выбрать адекватную модель, но и оценить ее параметры (см. [11], [10], [12]). Другой подход был предложен в 1975 году в работе Аткинсона и Федорова ([5]) и получил название Т-критерия. Задача

---

<sup>1</sup> Данная работа была поддержана Санкт-Петербургским государственным университетом (проект "Актуальные проблемы планирования и анализа для регрессионных моделей", 6.38.435.2015).

построения Т-оптимальных планов рассматривалась множеством авторов (смотри [6], [14], [9], [4], [13] или [15, 16]). Недавно появился ряд статей, посвященных исследованию этой проблемы для дискриминации двух полиномиальных (см. [4], [7]) и двух тригонометрических ([8]) моделей. В данных работах исследовалась зависимость Т-оптимальных планов от параметров моделей; в ряде случаев планы были найдены в явном виде. В общем случае, проблема построения Т-оптимального плана является сложной минимаксной задачей и искомые планы, как правило, удастся построить только численно. Аналитические решения данной проблемы имеют большое практическое значение и приложение в достаточно широком спектре задач: в частности, они могут использоваться как инструменты тестирования численных оптимизационных методов.

В настоящей работе исследуется задача дискриминации двух вложенных тригонометрических моделей. Детально рассматривается случай, когда старшая модель имеет порядок 2. Для этого случая исследована зависимость локально-оптимальных планов от параметров старшей модели и определено множество [значений этих параметров], для которого оптимальные планы строятся в явном виде с помощью математических пакетов (Maple и Matlab).

## Постановка задачи

Пусть результаты эксперимента описываются стандартным уравнением регрессии

$$y = \eta(x) + \varepsilon \text{ и } x \in \mathcal{X},$$

где  $\mathcal{X}$  множество возможных значений  $x$ , причем ошибки различных наблюдений ( $\varepsilon$ ) являются независимыми случайными величинами с нулевым математическим ожиданием и общей дисперсией.

Рассмотрим две регрессионные модели:  $\eta_1(x, \theta_1)$  и  $\eta_2(x, \theta_2)$ . Под Т-оптимальным планом будем понимать план, максимизирующий величину отклонения первой модели от второй (которая предполагается истинной):

$$\xi^* = \arg \max_{\xi} \int_{\mathcal{X}} \left( \eta_2(x, \theta_2) - \eta_1(x, \hat{\theta}_1) \right)^2 \xi(dx)$$

где  $\hat{\theta}_1$  — оценка, доставляющая минимум выражению:

$$\hat{\theta}_1 = \arg \min_{\theta_1} \int_{\mathcal{X}} \left( \eta_2(x, \theta_2) - \eta_1(x, \theta_1) \right)^2 \xi(dx)$$

В настоящей работе в качестве регрессионных функций  $\eta_1(x, \theta_1)$  и  $\eta_2(x, \theta_2)$  мы рассмотрим следующие функции:

$$\eta_1(x, \theta_1) = \bar{q}_0 + \sum_{i=1}^{k_1} \bar{q}_{2i-1} \sin(ix) + \sum_{i=1}^{k_2} \bar{q}_{2i} \cos(ix) \quad (1)$$

и

$$\begin{aligned} \eta_2(x, \theta_2) &= \tilde{q}_0 + \sum_{i=1}^{k_1} \tilde{q}_{2i-1} \sin(ix) + \sum_{i=1}^{k_2} \tilde{q}_{2i} \cos(ix) \\ &+ \sum_{i=k_1+1}^m b_{2(i-k_1)-1} \sin(ix) + \sum_{i=k_2+1}^m b_{2(i-k_2)} \cos(ix), \end{aligned} \quad (2)$$

где

$$\begin{aligned} \theta_1 &= (\bar{q}_0, \bar{q}_2, \dots, \bar{q}_{2k_2}, \bar{q}_1, \dots, \bar{q}_{2k_1-1}) \\ \theta_2 &= (\tilde{q}_0, \dots, \tilde{q}_{2k_2}, \tilde{q}_1, \dots, \tilde{q}_{2k_1-1}, b_2, \dots, b_{2m}, b_1, \dots, b_{2m-1}) \end{aligned}$$

векторы параметров моделей  $\eta_1$  и  $\eta_2$ , соответственно. В качестве множества планирования будем рассматривать интервал  $\mathcal{X} = [0, 2\pi]$ . Обозначим разность  $\eta_2(x, \theta_2) - \eta_1(x, \theta_1)$  за  $\bar{\eta}(x, q, \bar{b})$ :

$$\begin{aligned} \bar{\eta}(x, q, \bar{b}) &= q_0 + \sum_{i=1}^{k_1} q_{2i-1} \sin(ix) + \sum_{i=1}^{k_2} q_{2i} \cos(ix) + \\ &+ \sum_{i=k_1+1}^m b_{2(i-k_1)-1} \sin(ix) + \sum_{i=k_2+1}^m b_{2(i-k_2)} \cos(ix), \end{aligned} \quad (3)$$

где  $q = (q_0, q_1, \dots, q_{2k_1-1}, q_2, \dots, q_{2k_2})^T$ ,  $q_i = \tilde{q}_i - \bar{q}_i$  и  $\bar{b} = (b_1, b_3, \dots, b_{2(m-k_1)-1}, b_2, b_4, \dots, b_{2(m-k_2)})^T$  определяет вектор "дополнительных" параметров модели (2). В этих обозначениях мы можем переписать Т-критерий следующим образом:

$$\begin{aligned} T(\xi, \bar{b}) &= \min_q \int_{\mathcal{X}} \bar{\eta}(x, q, \bar{b})^2 \xi(dx), \quad \mathcal{X} = [0, 2\pi], \\ \xi^* &= \arg \max_{\xi} T(\xi, \bar{b}) \end{aligned}$$

Как было упомянуто во введении, построение Т-оптимальных планов в явном виде очень сложная задача. Ее сложность зависит, в частности, от размерности вектора  $\bar{b}$ . В следующем разделе мы детально исследуем эту задачу для  $m=2$ .

## Т-оптимальные планы в явном виде. Случай $m=2$ .

В этом разделе мы рассмотрим задачу построения Т-оптимального плана для  $m = 2$ . Мы рассмотрим два случая:

$$k_1 = 1, k_2 = 0, \quad (4)$$

$$k_1 = 0, k_2 = 1. \quad (5)$$

Случай  $k_1 = k_2 = 1$  был рассмотрен в работе [8].

Если  $m = 2$  и  $k_1 = 1, k_2 = 0$  функция  $\bar{\eta}$  in (3) имеет вид:

$$\bar{\eta}(x, q, \bar{b}) = q_0 + q_1 \sin(x) + \cos(x) + b_1 \sin(2x) + b_2 \cos(2x). \quad (6)$$

Число точек оптимального плана равно 2 или 3 и зависит от того какой области принадлежит точка  $(b_1, b_2)$ . Следующая теорема определяет Т-оптимальный план в явном виде.

**Теорема 1** *Рассмотрим функцию  $\bar{\eta}(x, q, \bar{b})$  (6). Пусть  $b_2^*(b_1) : [0, \infty) \rightarrow [0, \infty)$  такая функция, что для любой  $(b_1, b_2)$  выполняются следующие условия:*

$$\#supp(\xi^*) = \begin{cases} 2, & |b_2| \leq b_2^*(|b_1|), \\ 3, & |b_2| > b_2^*(|b_1|), \end{cases} \quad (7)$$

где  $\#supp(\xi^*)$  число точек носителя Т-оптимального плана  $\xi^*$  для  $\bar{\eta}(x, q, \bar{b})$ . Тогда, если  $-b_2^*(b_1) < b_2 \leq b_2^*(b_1)$  план

$$\xi^* = \begin{pmatrix} x^* & \pi - x^* \\ \frac{1}{2} & \frac{1}{2} \end{pmatrix}, \quad x^* = \arcsin \left( \frac{-1 + \sqrt{32b_1^2 + 1}}{8b_1} \right), \quad b_1 \in [0, \infty)$$

является Т-оптимальным для  $\bar{\eta}(x, q, \bar{b})$ .

Теорема 1 следует из теоремы эквивалентности для Т-оптимальных планов (см, напр., [8]). Доказательство проводится путем построения экстремальной функции плана с помощью пакета Maple.

**Пример 1** *Предположим, что  $m = 2$ ,  $b_1 = 1/2$ ,  $b_2 = 1/4$  и  $k_1=1$ ,  $k_2=0$ , тогда из Теоремы 1 следует, что план*

$$\xi^* = \begin{pmatrix} 0.5236 & 2.618 \\ \frac{1}{2} & \frac{1}{2} \end{pmatrix}$$

является Т-оптимальным для разности (6). Поведение экстремальной функции  $\psi^*$  этого плана отображено на рисунке 1.

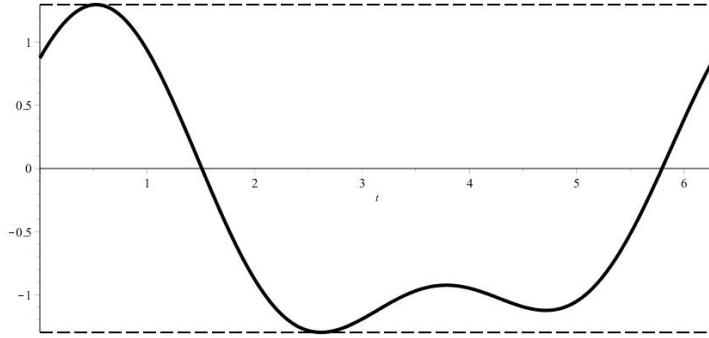


Рис. 1: Поведение экстремальной функции  $\psi^*$   $T$ -оптимального плана для модели (6) и случая  $m = 2$ ,  $k_1 = 1$ ,  $k_2 = 0$  ( $b_1 = 1/2$ ,  $b_2 = 1/4$ ).

**Теорема 2** Пусть  $b_1 \in [0, \infty]$ . Функция  $b_2^*(b_1)$  определенная в предыдущей теореме может быть представлена в явном виде:

$$b_2^*(b_1) = \frac{2b_1(-2b_1 \cos(2t) + \sin(t))}{\cos(t)\sqrt{32b_1^2 + 1} - 4b_1 \sin(2t) - \cos(t)}, \quad t = \arctan(z_0),$$

где

$$\begin{aligned} z_0 &= \frac{64b_1^3\sqrt{z_1 + z_2}}{z_3 \left( \sqrt{(32b_1^2 + 1)^3} + 96b_1^2 + 3\sqrt{32b_1^2 + 1} + 4 \right)}, \\ z_1 &= 8192b_1^6 + 12288b_1^4 + 576b_1^2, \\ z_2 &= (96b_1^2 - 3)\sqrt{(32b_1^2 + 1)^3} + (576b_1^2 + 3)\sqrt{32b_1^2 + 1}, \\ z_3 &= \sqrt{16b_1^2 + \sqrt{32b_1^2 + 1}} - 1 \left( -8b_1^2 + \sqrt{32b_1^2 + 1} - 1 \right). \end{aligned}$$

Утверждение теоремы может быть проверено прямыми вычислениями.

Следующие результаты являются прямыми следствиями Теоремы 1 и свойств тригонометрических функций.

**Следствие 1** Для  $m = 2$ ,  $k_1 = 1$ ,  $k_2 = 0$  и  $-b_2^*(b_1) < b_2 \leq b_2^*(b_1)$  план

$$\xi^* = \begin{pmatrix} \pi + x_1^* & 2\pi - x_1^* \\ \frac{1}{2} & \frac{1}{2} \end{pmatrix}, \quad x_1^* = \arcsin \left( \frac{-1 + \sqrt{32b_1^2 + 1}}{8|b_1|} \right), \quad b_1 \in (-\infty, 0]$$

является  $T$ -оптимальным для функции  $\bar{\eta}(x, q, \bar{b})$  (3).

**Следствие 2** Предположим, что  $m = 2$ ,  $k_1 = 0$ ,  $k_2 = 1$  и  $b_1 \in (-\infty, \infty)$ . Тогда

если

- $0 \leq b_2 \leq b_2^*(b_1)$  план

$$\xi_1^* = \begin{pmatrix} \pi/2 - x_1^* & 3\pi/2 + x_1^* \\ \frac{1}{2} & \frac{1}{2} \end{pmatrix}, \quad x_1^* = \arcsin \left( \frac{-1 + \sqrt{32b_1^2 + 1}}{8|b_1|} \right)$$

является  $T$ -оптимальным для функции  $\bar{\eta}(x, q, \bar{b})$  (3);

если

- $-b_2^*(b_1) \leq b_2 \leq 0$  план

$$\xi_2^* = \begin{pmatrix} \pi/2 + x_1^* & 3\pi/2 - x_1^* \\ \frac{1}{2} & \frac{1}{2} \end{pmatrix}, \quad x_1^* = \arcsin \left( \frac{-1 + \sqrt{32b_1^2 + 1}}{8|b_1|} \right)$$

является  $T$ -оптимальным для функции  $\bar{\eta}(x, q, \bar{b})$  (3).

## Заключение

Для случая  $m = 2$  Теорема 1 и Следствия 1, 2 дают аналитическое решение задачи построения 2-х точечного  $T$ -оптимального плана. Отметим, что 3-х точечные оптимальные планы также могут быть найдены в явном виде, но аналитические выражения получаются слишком громоздкими и мы не приводим их здесь. Для некоторых частных случаев  $k_1 = 1$ ,  $k_2 = 0$ ,  $b_1 = 0$ ,  $b_2 \neq 0$  and  $k_1 = 0$ ,  $k_2 = 1$ ,  $b_1 = 0$ ,  $b_2 \neq 0$  оптимальные планы найдены в явном виде в работе [8].

## Литература

- [1] Круг, Г. К. (1966). *Планирование экспериментов*. М.: Наука.
- [2] Федоров, В. В. (1971). *Теория оптимального эксперимента*. М.: Наука.
- [3] Под редакцией Ермакова, М. С. (1983). *Математическая теория планирования эксперимента*. М.: Наука.
- [4] Atkinson, A. C. (2010). The non-uniqueness of some designs for discriminating between two polynomial models in one variable. *MODA 9, Advances in Model-Oriented Design and Analysis*, pages 9–16.

- [5] Atkinson, A. C. and Fedorov, V. V. (1975a). The designs of experiments for discriminating between two rival models. *Biometrika*, 62:57–70.
- [6] Atkinson, A. C. and Fedorov, V. V. (1975b). Optimal design: Experiments for discriminating between several models. *Biometrika*, 62:289–303.
- [7] Dette, H., Melas, V. B., and Shpilev, P. (2012).  $T$ -optimal designs for discrimination between two polynomial models. *Annals of Statistics*, 40(1):188–205.
- [8] Dette, H., Melas, V. B. and Shpilev, P. (2015).  $T$ -optimal discriminating designs for fourier regression models. *Available at <http://arxiv.org/pdf/1512.07441.pdf>*, pages 1–17,
- [9] Dette, H. and Titoff, S. (2009). Optimal discrimination designs. *Annals of Statistics*, 37(4):2056–2082.
- [10] Hill, W. J. Hunter, W. G. and Wichern, W. D. (1968). A joint design criterion for the dual problem of model discrimination and parameter estimation. *Technometrics*, 10:145–160.
- [11] Hunter, W. G. and Reiner, A. M. (1965). Designs for discriminating between two rival models. *Technometrics*, 7(3):307–323.
- [12] Stigler, S. (1971). Optimal experimental design for polynomial regression. *Journal of the American Statistical Association*, 66:311–318.
- [13] Tommasi, C. and López-Fidalgo, J. (2010). Bayesian optimum designs for discriminating between models with any distribution. *Computational Statistics & Data Analysis*, 54(1):143–150.
- [14] Ucinski, D. and Bogacka, B. (2005).  $T$ -optimum designs for discrimination between two multiresponse dynamic models. *Journal of the Royal Statistical Society, Ser. B*, 67:3–18.
- [15] Wiens, D. P. (2009). Robust discrimination designs, with Matlab code. *Journal of the Royal Statistical Society, Ser. B*, 71:805–829.
- [16] Wiens, D. P. (2010). Robustness of design for the testing of lack of fit and for estimation in binary response models. *Computational Statistics and Data Analysis*, 54:3371–3378.